



УДК 577.115.3:578.232.547.295.8

НОВЫЙ ОКСААНАЛОГ МИРИСТИНОВОЙ КИСЛОТЫ, ПОДАВЛЯЮЩИЙ РЕПЛИКАЦИЮ ВИРУСА ИММУНОДЕФИЦИТА ЧЕЛОВЕКА

© 1995 г. Е. Л. Водовозова, И. И. Михалев, А. А. Ржанинова*,
М. М. Гараев*, Юл. Г. Молотковский

Институт биоорганической химии им. М.М. Шемякина и Ю.А. Овчинникова РАН,
117871, Москва, ГСП-7, ул. Миклухо-Маклая, 16/10;

* Институт вирусологии им. Д.И. Ивановского РАМН, 123098, Москва, ул. Гамалеи, 16

Поступила в редакцию 25.11.94 г.

Синтезирован ряд оксааналогов миристиновой кислоты, вещества исследованы на противовирусную активность в культуре клеток МТ4, зараженных вирусом иммунодефицита человека 1 (ВИЧ-1). Полученные кислоты не оказывают токсического воздействия на неинфицированные клетки МТ4 при концентрации 100 мкМ. 14,14,14-Трифтор-12-оксатетрадекановая кислота существенно ингибирует размножение ВИЧ-1 (подавление репродукции вирусного антигена на 75%), другие кислоты – (7Z)-13-, (9Z)-13- и (7Z)-11-оксатетрадеценовая – противовирусного действия не оказывают.

Ключевые слова: ингибиторы ретровирусов, анти-ВИЧ-соединения, N-миристоилирование белков, миристоил-СоА: протеин-N-миристоилтрансфераза, оксааналоги миристиновой кислоты, ингибиторы миристоилирования вирусспецифических белков.

В работах последних лет показано, что многие мембранные белки имеют липидные якоря, к числу которых относится и миристат (тетрадеканоат) (см., например, обзор [1]). Удаление липидных якорей или изменение их структуры приводит к нарушению функционирования этих мембранных белков. Эукариотическая миристоил-СоА: протеин-N-миристоилтрансфераза (далее – миристоилтрансфераза, КФ 2.3.1.97) катализирует сопровождающее трансляцию [2] миристоилирование N-концевого остатка глицина ряда клеточных, вирусных и онкобелков [1, 3]. Сайт-специфический мутагенез остатков Gly¹ в полипептидах Pr55^{gag} вируса иммунодефицита человека 1 [4] и Pr65^{gag} вируса лейкемии мышей [5] приводит к блокированию N-миристоилирования и протеолитического процессинга этих белков, что предотвращает их прикрепление к плазматической мембране, где осуществляется сборка вирусной частицы, и, таким образом, подавляет репликацию вируса.

Недавно Гордон и др. [6 - 12] показали, что репликация вирусов иммунодефицита человека и лейкемии мышей в культуре клеток CD4⁺ лимфоцитов человека ингибируется аналогами миристиновой (тетрадекановой) кислоты, содержащими гетероатом (кислорода или серы) вместо одного из метиленовых звеньев, причем цитотоксического действия при этом не наблюдалось. Наиболее ак-

тивными оказались 13-окса- [6, 7] и 4-оксамиристиновая [8] кислоты. Эксперименты по изучению метаболизма 11-оксамиристиновой кислоты в культурах мышевой миоцитоподобной клеточной линии (ВС₃Н1) [9] и клеточной линии СОЭ из почек обезьяны [10] показали, что она проникает в клетку, ацилирует СоA с помощью СоA-лигазы и является субстратом для миристоилтрансферазы. Эти данные хорошо согласуются с результатами, полученными в экспериментах *in vitro*, где изучалась субстратная специфичность миристоилтрансферазы из *Saccharomyces cerevisiae* в отношении природных жирных кислот с различной длиной алифатической цепи и ряда миристильных аналогов, содержащих гетероатомы [11]. Авторы показали, что фермент специчен в первую очередь к длине ацильной цепи, а не к ее гидрофобности. Также было установлено, что в молекуле фермента между центрами связывания ацил-СоА и цептида осуществляются кооперативные взаимодействия. В той же лаборатории синтезировали ряд производных 13-оксамиристата, содержащих 2-E-двойную связь и гидроксигруппу или атом фтора в разных положениях молекулы [12]. Предполагалось, что эти дополнительные функции увеличат устойчивость кислоты к β-окислительному расщеплению и повысят ее анти-ВИЧ-активность. Однако ни одно из синтезированных веществ не было более активно по сравнению с 13-оксамиристатом. Пиджен и сотр. [13] показали также, что ингибирующее влияние гетероаналогов миристата на репликацию ВИЧ-1

Сокращения: ВИЧ-1 – вирус иммунодефицита человека 1; СоA – коэнзим A; РМА – фосфорномолибденовая кислота; DNPH – 2,4-динитрофенилгидразин.

in vitro усиливается, если остаток этого аналога входит в состав фосфолипида. Так, фосфатидилэтаноламин, ацилированный двумя остатками 13-оксамиристиновой кислоты, оказался более чем в 40 раз активнее самой кислоты.

Для более детального изучения субстратной специфичности и структуры центра связывания миристоила в молекуле миристоилтрансферазы Гордон и сотр. [14, 15] синтезировали широкий набор аналогов миристиновой кислоты, включающий производные, содержащие один, два или три гетероатома (O и/или S), *цис*- или *транс*-двойные связи, тройную связь, фенильную, фурильную, тиенильную и циклогексильную группы в различных положениях и комбинациях вдоль алифатической цепи. Авторы делают предположение, что углеводородная цепь миристоил-CoA располагается в гидрофобном кармане миристоилтрансферазы следующим образом: а) в районе C4 - C7 алифатическая цепь имеет изгиб, б) последовательность первых 4 или 5 атомов ацильной цепи находится в вытянутой конформации, в) концевые атомы углерода взаимодействуют с неким участком центра связывания ацил-CoA, который имеет форму конуса и проявляет избирательность в отношении длины и пространственных характеристик ацильной цепи [15].

Ингибирующее ВИЧ действие некоторых аналогов миристиновой кислоты, очевидно, заключается в том, что они являются приемлемыми субстратами для миристоилтрансферазы, однако остатки этих кислот не способны удерживать белки ВИЧ в мембране [6, 9]. По-видимому, введение в миристильный остаток полярных функций – в данном случае решающий фактор.

Мы также предприняли поиск новых нецитотоксических ингибиторов ВИЧ – оксааналогов миристиновой кислоты. С этой целью нами были синтезированы кислоты (VI), (X), (XVI), содержащие *Z*-двойную связь и атом кислорода в различных положениях алифатической цепи, а также кислота (XVII) с трифторметильной группой в ω -предельном положении и оксагруппой вместо C12 (схемы 1 - 4).

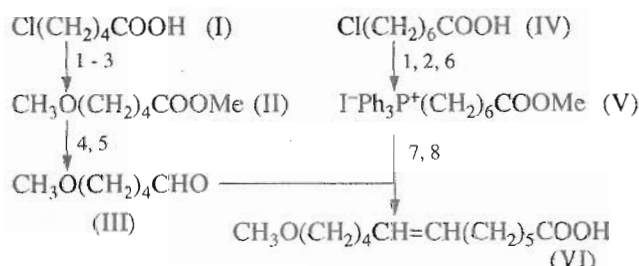
(7*Z*)-13-Оксатетрадециновую кислоту (VI) получали исходя из 5-хлорпентановой (I) и 7-хлор-

гептановой (IV) кислот (схема 1). Метиловый эфир 5-хлорпентановой кислоты превращали в соответствующий иодид, который по реакции Вильямсона переводили в 5-метоксипроизводное (II), которое затем восстанавливали алюмогидридом лития; полученный спирт окисляли до альдегида (III) хлорхроматом пиридния [16]. Из 7-хлоргептановой кислоты (IV) через метиловый эфир 7-иодгептановой кислоты получали трифенилфосфониевую соль (V), которую вводили в реакцию Виттига с альдегидом (III) в тетрагидрофуране, используя в качестве основания гексаметилдисилазанид натрия. В этих условиях из алифатических карбонилсодержащих соединений образуются преимущественно *Z*-олефины [17]. После омыления образовавшегося эфира получали кислоту (VI) (схема 1).

Аналогичным образом была получена (7*Z*)-11-оксатетрадециновая кислота (X) (схема 2). 3-Бромпропионовая кислота (VII) после этерификации была по реакции Вильямсона переведена в метил-3-пропоксипропионат (VIII), восстановление которого алюмогидридом и последующее окисление OH-группы хлорхроматом пиридния привело к 3-пропоксипропаналю (IX). Последний был введен в реакцию Виттига с фосфониевой солью (V) в указанных выше условиях; после омыления сложноэфирной группы продукта реакции была выделена кислота (X).

В синтезе (9*Z*)-13-оксатетрадециновой кислоты (XVI) (схема 3) исходили из 3-бромпропанола (XI); О-метилирование его проводили действием диазометана и эфирата трехфтористого бора, получали 3-метоксипропилбромид (XII), который переводили в фосфониевую соль (XIII). Из нее и 8-метоксикарбонилоктаналя (XV) (получен из метил-9-иодноаноата (XIV)) по описанному выше варианту реакции Виттига была синтезирована кислота (XVI).

Z-Конфигурацию двойной связи в кислотах (X) и (XVI) доказывает присутствие в спектрах ^1H -ЯМР их метиловых эфиров сигналов обоих олефиновых протонов в области 5.3 - 5.5 м. д. с константой спин-спинового взаимодействия приблизительно 10 Гц (см. "Экспериментальную часть").



1 - MeOH, H⁺; 2 - MeCOEt, NaI; 3 - MeONa, DMSO; 4 - LiAlH₄; 5 - CrO₃ · HCl · Py;
6 - PPh₃, MeCN; 7 - NaN(SiMe₃)₂; 8 - a) Pr'OH, NaOH, b) H⁺; 9 - CH₃(CH₂)₂ONa

Схема 1.

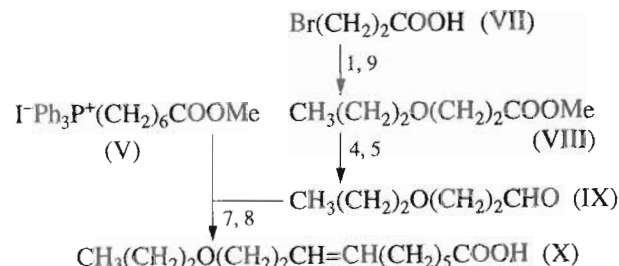
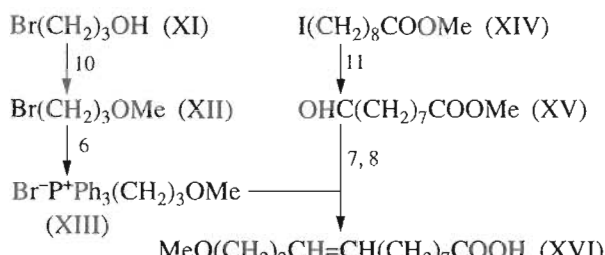


Схема 2.



Реагенты 6, 7, 8 – см. схемы 1, 2.

10 – $\text{CH}_2\text{N}_2/\text{BF}_3 \cdot \text{Et}_2\text{O}$; 11 – Me_3NO ; 12 – Na ;
13 – $\text{Br}(\text{CH}_2)_{10}\text{COOH}$; 14 – H^+

Схема 4.

В спектре эфира кислоты (VI) протоны при двойной связи не дали раздельных сигналов, однако Z-конфигурация в этом случае подтверждается данными ИК-спектроскопии – присутствием полосы поглощения при 730 cm^{-1} и отсутствием поглощения в области $960 - 970 \text{ cm}^{-1}$; подобные же ИК-спектры имеют и эфиры кислот (X) и (XVI), для которых Z-конфигурация подтверждена данными ^1H -ЯМР. Следует заметить, что в той же области спектра могут располагаться полосы маятниковых колебаний метиленовых групп. Однако в спектре метилового эфира 13-оксамиристиновой кислоты заметного поглощения в этой области нет (данные не приведены), что позволяет приписать полосу при 730 cm^{-1} в спектре эфира кислоты (VI) Z-двойной связи.

14,14,14-Трифтор-12-оксатетрадекановую кислоту (XVII) получали реакцией Вильямсона из 2,2,2-трифторэтилата натрия и 11-бромундекановой кислоты (схема 4).

Синтезированные нами аналоги миристиновой кислоты (VI), (X), (XVI), (XVII) были исследованы на противовирусную активность в культуре клеток МТ4, зараженных ВИЧ-1, по модифицированной методике [6]. В качестве отрицательного (неактивного) контрольного вещества использовали миристиновую кислоту. Образцом для сравнения была выбрана 13-оксамиристиновая (13-оксатетрадекановая) кислота, которая проявила наибольшую противовирусную активность среди испытанных кислот строения $\text{CH}_3(\text{CH}_2)_m\text{X}(\text{CH}_2)_n\text{COOH}$ ($m + n = 11$, $\text{X} = \text{O}$ или S) [6]. Согласно литературным данным, эта кислота при концентрации 20 - 40 мкМ ингибирует развитие ВИЧ-1 на 90 - 95% от контроля и при максимально испытанной концентрации (100 мкМ) не оказывает токсического действия на лимфоциты [6].

Результаты проведенных нами испытаний суммированы в таблице. Как следует из представленных данных, в концентрации 100 мкМ аналоги (VI, X, XVI), содержащие двойную связь, не проявили противовирусной активности, в то время как трифторкислота (XVII) и 13-оксатетрадекановая кислота вызывали подавление репродукции вирусного антигена на 33 - 75%. Сравнение ингибирующей активности этих препаратов между собой показывает, что более эффективна трифторкислота (таблица). Полученные нами значения уровня ингибирующей активности 13-оксатетрадекановой кислоты отличаются от данных, приведенных ранее [6]. Эти различия, возможно, связаны с разной множественностью инфекции и особенностями штаммов ВИЧ-1, использованных в работе.

Необходимо отметить, что ни одно из изученных нами соединений не обладало токсическим действием на клетки МТ4, о чем свидетельствовали эксперименты по измерению уровня включения $[^3\text{H}]$ тимидина в присутствии и без добавления химиопрепаратов (данные не приводятся).

Анти-ВИЧ-активность оксааналогов миристиновой кислоты*

Вещество (кислота)	Титр вируса в супернатанте ^{2*} (10^4 СОЕ/мл)	Содержание антигена p24 (P , нг/мл)		Ингибирование репродукции антигена p24, % ^{3*}			
		Дни после заражения			3	5	7
		3	5	7	3	5	7
Миристиновая (тетрадекановая)	2.0	>0.03	150.0	209.3	0	0	0
13-Оксатетрадекановая	н/о ^{4*}	>0.03	96.8	140.6	0	35.5	33.1
(7Z)-13-Оксатетрадеценовая (VI)	2.0	н/о			0		
(7Z)-11-Оксатетрадеценовая (X)	2.0	н/о			0		
(9Z)-13-Оксатетрадеценовая (XVI)	2.0	н/о			0		
14,14,14-Трифтор-12-оксатетрадекановая (XVII)	0.8×10^{-2}	>0.03	37.5	109.3	0	75	47.9

* Концентрация в культуральной среде 100 мкМ. ^{2*} Определен в пробах на 5-е сут после инфицирования; СОЕ – синцитиеобразующие единицы. ^{3*} Содержание антигена p24 в контроле (миристиновая кислота) (P_k) принимали за 100%,

ингибирование рассчитывали по формуле $\frac{P_k - P}{P_k} \cdot 100$. ^{4*} н/о – не определяли.

Отсутствие противовирусного эффекта в случае кислот (VI), (X), (XVI), вероятно, может служить еще одним доказательством гипотетической модели гидрофобной полости миристоилтрансферазы, которая была предложена ранее [15]. Как было уже отмечено, между звеньями C4 и C7 ацильной цепи миристоильного остатка, находящегося в центре связывания фермента, предполагается наличие изгиба. Полученные нами кислоты (VI), (X), (XVI) содержат *цис*-двойные связи в положениях C7–C8 или C9–C10, что, видимо, не способствует их укладке в гидрофобной полости фермента.

Синтезированная нами трифтормолочная кислота (XVII) является, очевидно, подходящим субстратом для миристоилтрансферазы, а содержащаяся в ее молекуле ω -трифтормолочнокислая группа не позволяет ацилированному вирусному белку удерживаться в клеточной мембране, и процесс сборки вирусной частицы нарушается. Эта кислота представляется потенциальным кандидатом для получения нового лекарственного средства против СПИДа и других заболеваний, возбуждаемых ретровирусами, зависимыми от N-миристоилирования белков.

ЭКСПЕРИМЕНТАЛЬНАЯ ЧАСТЬ

В синтезе использовали 3-бромпропионовую кислоту, ч. ("Реахим"); 11-бромундекановую кислоту, трифенилfosфин и 2,2,2-трифтормолочнокислый эфир (Fluka, Швейцария); 3-бромпропанол, фторизил, DMSO (Merck, Германия); N-метил-N-нитрозо-*n*-толуолсульфамид (Aldrich, США). Хлорхромат пиридиния [16], гексаметилдисилазанид натрия [18], 5-хлорпентановую, 7-хлорпентановую и 9-хлорпентановую кислоты [19], 13-оксатетрадекановую кислоту [11] и триметиламиноксид [20] получали так, как описано ранее. Сухие эфиры и THF получали перегонкой над алюмогидридом лития, 2,2,2-трифтормолочнокислым эфиром – над пятиокисью фосфора.

Для колоночной хроматографии применяли силикагель 60 (40–63 мкм, Merck), для ТСХ – пластинки Kieselgel 60 (Merck) в системах толуол–этилацетат– CH_3COOH , 92 : 7 : 1 (А), бензол–этилацетат, 20 : 1 (Б); обнаружение с помощью РМА или DNPH.

Температуры плавления определены на блоке Кофлера и исправлены. Спектры ^1H -ЯМР снимали в CDCl_3 на приборе Bruker WM-500, ИК-спектры – на спектрофотометре Hitachi 270-30 (Япония), масс-спектры – на спектрометре Varian MAT 44S (США), энергия ионизирующих электронов 70 эВ. ВЭЖХ проводили на хроматографе Altex 334 (США); колонка – Separon SGX C₁₈, 10 мкм (Tessek, Чехия), подвижная фаза – вода–метанол (1 : 4), скорость элюирования 1 мл/мин, детектирование по оптической плотности элюата при 254 нм.

Метиловый эфир 5-иодпентановой кислоты. 5-Хлорпентановую кислоту (I) (273 г, 2 моль) рас-

творяли в 1.5 л 0.5 н. HCl в метаноле (получали при добавлении 55 мл SOCl_2 к 1.5 л сухого метанола). Смесь оставляли на 12 ч при 20°C, затем отгоняли большую часть метанола, остаток нейтрализовали сухим KHCO_3 , понемногу добавляя воду. Метиловый эфир 5-хлорпентановой кислоты экстрагировали смесью *n*-пентан–эфир, 1 : 1. Экстракт промывали раствором соды, водой, насыщенным водным NaCl, сушили MgSO_4 , фильтровали, упаривали, остаток перегоняли в вакууме. Получали 240 г метил-5-хлорпентаноата в виде бесцветной жидкости. Выход 85%, т. кип. 80–90°C/3 кПа. 133 г (0.88 моль) пентаноата кипятали 20 ч в 1 л сухого метилэтилкетона, содержащего 158 г (1.05 моль) безводного иодида натрия. Отгоняли из реакционной смеси около 2/3 растворителя, остаток охлаждали, разбавляли 1 л эфира и промывали 5% тиосульфатом натрия, 5% NaHCO_3 , водой и насыщенным водным NaCl (по 150 мл), сушили MgSO_4 , фильтровали и упаривали. Получали 204 г (95%) желтоватой жидкости, т. кип. 114–115°C/3 кПа (лит. данные [21]: т. кип. 104–111°C/1.1 кПа). Масс-спектр (*m/z*): 211 ($[M - \text{OMe}]^+$), 115 ($[M - \text{I}]^+$).

Метиловый эфир 7-иодпентановой кислоты синтезировали аналогично эфиру 5-иодпентановой кислоты из 7-хлорпентановой кислоты (IV), через ее метиловый эфир (выход 86%, бесцветная жидкость, т. кип. 122–127°C/3 кПа), после обработки которого NaI получали указанный эфир в виде желтоватого жидкого вещества (выход 95%), индивидуального хроматографически и совпадающего по подвижности в системе Б (обнаружение РМА), R_f 0.6, с метиловым эфиром, полученным из аутентичной 7-иодпентановой кислоты [22].

Метиловый эфир 5-метоксипентановой кислоты (II). Металлический натрий (28 г, 1.22 г-атом) растворяли в 500 мл сухого метанола, раствор метилата натрия упаривали досуха, остаток еще дважды упаривали досуха с 50 мл бензола. К полученному метилату натрия добавляли 500 мл DMSO и по каплям при перемешивании и охлаждении на водяной бане добавляли 154 г (0.64 моль) метил-5-иодпентаноата, перемешивали 20 мин при 20°C и выливали реакционную смесь в 1 л охлажденной 1 н. HCl. Экстрагировали эфиром (3 × 500 мл), экстракт промывали 5% водным NaHCO_3 , водой и насыщенным раствором NaCl (по 150 мл), сушили MgSO_4 , упаривали и перегоняли в вакууме. Получали 21.2 г (25%) эфира (II) в виде бесцветной жидкости, т. кип. 75–80°C/3 кПа. Масс-спектр (*m/z*): 145 ($[M - \text{H}]^+$), 113 ($[M - \text{H} - \text{CH}_3\text{OH}]^+$).

5-Метоксипентаналь (III). К супензии алюмогидрида лития (4 г, 0.105 моль) в 200 мл сухого эфира прибавляли по каплям раствор 28 г (0.19 моль) метилового эфира (II) в 80 мл эфира, смесь кипятали 1 ч, охлаждали, остаток алюмогидрида лития разлагали ледяной водой. Добавляли

3 н. H_2SO_4 до полного растворения осадка, эфирный слой отделяли, водную фазу дважды экстрагировали эфиром. Объединенный эфирный экстракт промывали раствором соды, водой, рассоловом, сушили Na_2SO_4 , фильтровали, упаривали и перегоняли. Получали 16.35 г 5-метоксипентанола (73%), т. кип. 160 - 169°C.

К раствору 45.2 г (0.21 моль) хлорхромата пиридиния в 280 мл хлористого метилена добавляли 16.4 г (0.14 моль) 5-метоксипентанола в 26 мл CH_2Cl_2 , перемешивали 2 ч. Раствор сливали со смолистого осадка, последний растирали с эфиром (3 × 80 мл). Объединенный экстракт пропускали через колонку с 20 г флоризила, упаривали и перегоняли в вакууме. Получали около 10 г (61%) альдегида (III). Бесцветная жидкость, т. кип. 90 - 100°C/5 кПа. R_f 0.27 (система Б, обнаружение DNPH). 2,4-Динитрофенилгидразон альдегида (III): т. пл. 69 - 71°C. Масс-спектр (m/z): 296 (M^+).

6-Метоксикарбонилгексилтрифенилfosфонийодид (V). Кипятили 7 ч 15 г (56 ммоль) метил-7-иодгептANOата и 16 г (65 ммоль) трифенилфосфина в 75 мл сухого ацетонитрила. Реакционную смесь упаривали и стеклообразную массу растирали с 70 мл сухого эфира. Из полученного раствора после кристаллизации получали 26.2 г (87%) соли (V) в виде бесцветных кристаллов, т. пл. 97 - 99°C. Найдено, %: C 58.97; H 6.01. Вычислено, %: C 58.66; H 5.68.

(7Z)-13-Оксатетрадеценовая кислота (VI). К 10 мл сухого THF, охлажденного до 0°C, добавляли 0.87 г (1.7 ммоль) фосфониевой соли (V), раствор 0.37 г (2 ммоль) гексаметилдисилазанида натрия в 10 мл сухого THF перемешивали 5 мин при 0°C, к оранжевому раствору добавляли по каплям 400 мкл альдегида (III). Перемешивали 1 ч при 20°C, подкисляли 1 н. HCl, экстрагировали пентаном (3 × 20 мл), экстракт упаривали. Остаток хроматографировали на колонке с силикагелем в системе бензол-этилацетат (25 : 1). Получали 205 мг (42%) (7Z)-метил-13-оксатетрадеценоата в виде бесцветного маслообразного вещества, индивидуального хроматографически, R_f 0.55 (Б, РМА). 1H -ЯМР (δ , м. д.): 1.36 - 1.43 (6Н, м, H10 и H4-H5), 1.58 - 1.66 (4Н, м, H11 и H3), 2.05 (4Н, м, H6 и H9), 2.31 (2Н, т, H2), 3.34 (3Н, с, H14), 3.39 (2Н, т, H12), 3.70 (3Н, с, COOCH₃), 5.36 (2Н, м, H7 и H8). Масс-спектр (m/z): 242 (M^+), 210 ([$M - CH_3OH$]⁺), 178 ([$M - 2 \times CH_3OH$]⁺). ИК (пленка, ν, см⁻¹): 3010 (C-H алкена), 1750 (сл. эфир), 1670 (C=C), 730 (C-H цис-алкена).

Раствор 112 мг (7Z)-метил-13-оксатетрадеценоата в 10 мл изопропанола кипятили 1.5 ч с 1 мл водного 5% NaOH, упаривали, остаток растворяли в 10 мл воды, нейтрализовали 2 н. HCl и экстрагировали гексаном (2 × 20 мл). Экстракт промывали водой и насыщенным NaCl (по 10 мл), упаривали. Получали 100 мг кислоты (VI) в виде

бесцветного маслообразного вещества, индивидуального хроматографически, R_f 0.42 (А, РМА).

Метиловый эфир 3-бромпропионовой кислоты получали аналогично метиловым эфирам ω-хлоркислот (I) и (IV) из 153 г (1 моль) 3-бромпропионовой кислоты (VII). Выход 135.7 г (0.81%), т. кип. 57 - 58°C/3 кПа. Масс-спектр (m/z): 168, 166 (M^+), 135, 137 ([$M - OMe$]⁺), 107, 109 ([$M - COOMe$]⁺), 87 ([$M - Br$]⁺).

Метиловый эфир 3-пропоксипропионовой кислоты (VIII). К 1 л охлажденного до 20°C раствора металлического натрия (18 г, 0.78 г-атом) в *n*-пропаноле добавляли по каплям 84 г (0.5 моль) метил-3-бромпропионата, перемешивали 1 ч и оставляли при 20°C. Через 12 ч реакционную смесь выливали в 4 л 1 н. HCl и экстрагировали смесью пентан-эфир, 1 : 1 (3 × 500 мл), экстракт промывали 5% NaHCO₃, водой, насыщенным NaCl (по 100 мл), сушили Na_2SO_4 , фильтровали, упаривали и перегоняли. Получали 43 г (59%) эфира (VIII), т. кип. 85 - 90°C/3 кПа.

3-Пропоксипропаналь (IX) получали так, как описано для 5-метоксипентаналя (III). Метил-3-пропоксипропионат (VIII) (43 г, 0.3 моль) восстанавливали алюмогидридом лития (6.1 г, 0.16 моль) и получали 25.5 г (73%) 3-пропоксипропанала, т. кип. 110 - 112°C/3 кПа. Последний (14.2 г, 0.12 моль) окисляли хлорхроматом пиридиния (38.8 г) в 240 мл дихлорметана и получали 6.9 г (51%) 3-пропоксипропанала (IX), т. кип. 77 - 85°C/13 кПа, R_f 0.31 (Б, DNPH). 2,4-Динитрофенилгидразон альдегида (IX): т. пл. 105 - 107°C; масс-спектр, m/z : 296 (M^+).

(7Z)-11-Оксатетрадеценовая кислота (X). К 30 мл охлажденного до -20°C раствора фосфониевой соли (V) (2.61 г, 4.9 ммоль) в сухом THF добавляли по каплям раствор 1.11 г (6 ммоль) NaN(SiMe₃)₂ в 30 мл сухого THF. Полученную оранжевую супензию перемешивали 10 мин, охлаждали до -78°C и добавляли к ней 0.6 мл (5 ммоль) альдегида (IX). Смесь перемешивали 10 мин при -78°C и 1 ч при 20°C, затем обрабатывали так, как описано для (7Z)-метил-13-оксатетрадеценоата, остаток хроматографировали на колонке с силикагелем в системе гексан-эфир (20 : 1). Получали 415 мг (7Z)-метил-11-оксатетрадеценоата в виде бесцветного маслообразного вещества, индивидуального хроматографически, R_f 0.60 (Б, РМА). 1H -ЯМР (δ , м. д.): 0.94 (3Н, т, H14), 1.37 (4Н, м, H4 и H5), 1.66 (4Н, м, H3 и H13), 2.05 (2Н, м, H6), 2.33 (4Н, м, H2 и H9), 3.43 (4Н, м, H10 и H12), 3.70 (3Н, с, COOCH₃), 5.39 (1Н, дт, H7, $J_{6,7}$ 7.2, $J_{7,8}$ 10.2 Гц), 5.44 (1Н, дт, H8, $J_{7,8}$ 10.2, $J_{8,9}$ 7 Гц). Масс-спектр (m/z): 242 (M^+), 182 ([$M - C_3H_7OH$]⁺), 150 ([$M - CH_3OH - C_3H_7OH$]⁺). ИК (пленка, ν, см⁻¹): 3010 (C-H алкена), 1750 (сл. эфир), 1670 (C=C), 730 (C-H цис-алкена).

200 мг (7Z)-метил-11-оксатетрадеценоата гидролизовали так, как описано при получении

кислоты (VI), и получали 166 мг (7Z)-11-оксатетрадециновой кислоты (X) в виде бесцветного маслообразного вещества, индивидуального хроматографически, R_f 0.48 (A, PMA).

Метиловый эфир 3-бромпропанола (XII) синтезировали по описанной ранее методике [23]. Диазометан получали разложением 110 г N-метил-N-нитрозо-*n*-толуолсульфамида 25 г едкого кали в 40 мл воды и 125 мл спирта. 3-Бромпропанол (XI) (14 мл, 0.155 моль) растворяли в 20 мл эфира и добавляли 3 мл эфирата трехфтористого бора, смесь охлаждали до -10°C и барботировали через нее дважды перегнанный диазометан. К реакционной смеси добавляли 2 мл уксусной кислоты, нейтрализовали 5% NaHCO_3 , отделяли эфирный слой, водный слой экстрагировали 50 мл эфира. Объединенный эфирный экстракт промывали водой, насыщенным NaCl , сушили Na_2SO_4 , фильтровали, упаривали и перегоняли. Получали 5.15 г (22 %) соединения (XII), т. кип. $130 - 133^{\circ}\text{C}$ (лит. данные [24]: т. кип. $132 - 133^{\circ}\text{C}$).

3-Метоксипропилтрифенилfosфонийбромид (XIII) получали кипячением (15 ч) 5.15 г эфира (XII) и 10.5 г трифенилфосфина в 50 мл сухого ацетонитрила. Реакционную смесь упаривали и получали фосфониевую соль (XIII) в виде бесцветных кристаллов, т. пл. $340 - 342^{\circ}\text{C}$. Выход 11.8 г (88%). Найдено, %: C 63.93; H 5.31. Вычислено, %: C 63.63; H 5.82.

8-Метоксикарбонилоктаналь (XV). К триметиламиноксиду (10 г) добавляли 160 мл сухого ксилола (смесь изомеров) и медленно отгоняли азеотропную смесь воды и ксилола. Избыток ксилола упаривали в вакууме, к остатку прибавляли 50 мл сухого хлороформа и 6 мл (40 ммоль) метил-9-иодноаноата (XIV) (полученного из 9-хлоронаовой кислоты так, как описано выше для метил-5-иодпентаноата) в 20 мл хлороформа, кипятили 5 ч, охлаждали, промывали 2 н. HCl , 5% NaHCO_3 , водой и насыщенным NaCl , упаривали. Остаток перегоняли в вакууме, получали около 2 г (27%) альдегида (XV), индивидуального хроматографически, R_f 0.33 (Б, DNPH). Т. кип. $125^{\circ}\text{C}/0.2 \text{ кПа}$. 2,4-Динитрофенилгидразон альдегида (XV): т. пл. $59 - 61^{\circ}\text{C}$; масс-спектр (m/z): 366 (M^+), 336 ($[M - \text{NO}_2]^+$).

(9Z)-13-Оксатетрадециновая кислота (XVI) получена аналогично соединениям (VI) и (X). 0.93 г (2 ммоль) фосфониевой соли (XIII) действием 370 мг $\text{NaN}(\text{SiMe}_3)_2$ в 10 мл сухого THF превращали в соответствующий илид, в результате реакции которого с 372 мг (2 ммоль) альдегида (XV) получали 127 мг (26%) (9Z)-метил-13-оксатетрадециноата в виде бесцветного маслообразного вещества, индивидуального хроматографически, R_f 0.56 (Б, PMA). ^1H -ЯМР (δ, м. д.): 1.33 (8Н, м, H4-H7), 1.66 (2Н, м, H3), 2.05 (2Н, м, H8), 2.31 (4Н, м, H2 и H11), 3.34 (3Н, с, H14), 3.39 (2Н, т, H12), 3.70 (3Н, с, COOCH_3), 5.38 (1Н, дт, H9, $J_{8,9}$ 7.5, $J_{9,10}$ 9.5 Гц),

5.48 (1Н, дт, H10, $J_{10,11}$ 7.5, $J_{9,10}$ 9.5 Гц). Масс-спектр (m/z): 243 ($[M + \text{H}]^+$), 210 ($[M - \text{MeOH}]^+$), 178 ($[M - 2 \times \text{MeOH}]^+$). ИК (в хлороформе, ν, cm^{-1}): 1755 (сл. эфир), 690 (C-H цис-алкена).

Из 100 мг (9Z)-метил-13-оксатетрадецинат аммиачным раствором получали 91 мг (95%) кислоты (XVI) в виде бесцветного маслообразного вещества, индивидуального хроматографически, R_f 0.42 (A, PMA).

14,14,14-Трифторм-12-оксатетрадекановая кислота (XVII). Реакцию проводили при перемешивании в атмосфере аргона. Натрий (0.30 г, 13 мг-атом) помещали в 30 мл THF, растворяли 5 мл (68 ммоль) трифторметана, по каплям добавляли 1.14 г (4.3 ммоль) 11-бромундекановой кислоты в 15 мл THF и кипятили 36 ч. После охлаждения из полученной желеобразной смеси растворитель удаляли в вакууме. Остаток растворяли в 100 мл этилацетата и экстрагировали водой (3×30 мл). Водный экстракт подкисляли 6 н. HCl до pH 1 и экстрагировали этилацетатом (3×30 мл), экстракт высушивали MgSO_4 , остаток дважды хроматографировали на колонке с силикагелем в градиентных системах хлороформ-этилацетат (95 : 5) \rightarrow хлороформ-этилацетат-уксусная кислота (89 : 10 : 1) и гексан-диэтиловый эфир (4 : 1) \rightarrow гексан-диэтиловый эфир-уксусная кислота (80 : 20 : 1), контролируя фракции TCX (A, PMA). Получали 0.56 г (46%) кислоты (XVII) в виде бесцветного аморфного вещества. ^1H -ЯМР (δ, м. д.): 1.3 (м, 12Н, H4-H9), 1.63 (м, 4Н, H3 и H10), 2.37 (т, 2Н, H2), 3.62 (т, 2Н, H11), 3.83 (к, 2Н, H13). Масс-спектр метилового эфира (m/z): 298 ($[M]^+$), 267 ($[M - \text{OMe}]^+$), 199 ($[M - \text{OCH}_2\text{CF}_3]^+$). Кислота (XVII) после превращения в *n*-бромфениловый эфир индивидуальна по данным ВЭЖХ (k_1 4.38); у производных 11-бромундекановой и 10-ундеценовой кислот k_1 = 6.75 и 5.75 соответственно.

Определение анти-ВИЧ-активности аналогов миристиновой кислоты. Клетки MT4 в концентрации 3×10^5 кл./мл инфицировали ВИЧ-1 (штамм RF) с множественностью 0.03, отмывали от несвязавшегося вируса и помещали в 24-луночный планшет. В каждую лунку добавляли равный объем ростовой среды (RPMI 1640 с 5% эмбриональной телячьей сыворотки, 200 мМ глутамином и 40 мкг/мл гентамицина), содержащей испытуемое вещество. Конечная концентрация ингибиторов в среде составляла 100 мкМ. В контрольные лунки добавляли раствор миристиновой кислоты. На 3, 5 и 7-е сут культивирования отбирали пробы, в которых определяли концентрацию вирусного антигена p24 методом ELISA с использованием тест-системы НПО "Вектор" (Новосибирск).

С целью предварительного скрининга препаратов определяли титр вируса в культуральной жидкости после 5 сут инкубирования в присутствии соответствующих химиопрепараторов. Для этого готовили серии последовательных разведений культуральной жидкости, освобожденной от

целых клеток и клеточного дебриса, сокультивировали с равным объемом суспензии клеток МТ4 и на 4 - 5-е сут определяли конечное разведение инфекционного вируса по синцитиообразованию.

Испытуемые вещества хранили в виде растворов в DMSO при -20°C . Конечная концентрация растворителя в культуральной среде не превышала 0,1%. Цитотокическое действие ингибиторов на клетки определяли по подавлению включения [^{3}H]тимидина в клеточную ДНК. Эксперименты проводили 2 - 4 раза.

Работа выполнена при поддержке Российского фонда фундаментальных исследований (грант № 94-03-09122).

СПИСОК ЛИТЕРАТУРЫ

1. Gordon J.I., Duronio R.J., Rudnick D.A., Adams S.P., Gokel G.W. // J. Biol. Chem. 1991. V. 266. № 14. P. 8647 - 8650.
2. Wilcox C., Hu J.-S., Olson E.N. // Science. 1987. V. 238. № 4831. P. 1275 - 1278.
3. Towler D.A., Gordon J.I., Adams S.P., Glaser L. // Annu. Rev. Biochem. 1988. V. 57. № 1. P. 69 - 90.
4. Gottlinger H.G., Sodroski J.G., Haseltine W.A. // Proc. Nat. Acad. Sci. USA. 1989. V. 86. № 15. P. 5781 - 5785.
5. Rein A., McClure M.K., Rice N.R., Luftig R.B., Schultz A.M. // Proc. Nat. Acad. Sci. USA. 1986. V. 83. № 19. P. 7246 - 7250.
6. Bryant M.L., Heuckeroth R.O., Kimata J.T., Ratner L., Gordon J.I. // Proc. Nat. Acad. Sci. USA. 1989. V. 86. № 22. P. 8655 - 8659.
7. Bryant M.L., Ratner L., Duronio R.J., Kishore N.S., Adams S.P., Gordon J.I. // Proc. Nat. Acad. Sci. USA. 1991. V. 88. № 6. P. 2055 - 2059.
8. Langner C.A., Lodge J.K., Travis S.J., Caldwell J.E., Lu T., Li Q., Bryant M.L., Devadas B., Gokel G.W., Kobayashi G.S., Gordon J.I. // J. Biol. Chem. 1992. V. 267. № 24. P. 17159 - 17169.
9. Heuckeroth R.O., Gordon J.I. // Proc. Nat. Acad. Sci. USA. 1989. V. 86. № 14. P. 5262 - 5266.
10. Mumby S.M., Heuckeroth R.O., Gordon J.I., Gilman A.G. // Proc. Nat. Acad. Sci. USA. 1990. V. 87. № 2. P. 728 - 732.
11. Heuckeroth R.O., Glaser L., Gordon J.I. // Proc. Nat. Acad. Sci. USA. 1988. V. 85. № 23. P. 8795 - 8799.
12. Devadas B., Kishore N.S., Adams S.P., Gordon J.I. // Bioorgan. Med. Chem. Letters. 1993. V. 3. № 4. P. 779 - 784.
13. Pidgeon C., Markovich R.J., Lin M.D., Holzer T.J., Novak R.M., Keyer K.A. // J. Biol. Chem. 1993. V. 268. № 11. P. 7773 - 7778.
14. Heuckeroth R.O., Jackson-Machelsky E., Adams S.P., Kishore N.S., Huhn M., Katoh A., Lu T., Gokel G.M., Gordon J.I. // J. Lipid Res. 1990. V. 31. № 6. P. 1121 - 1129.
15. Kishore N.S., Lu T., Knoll L.J., Katoh A., Rudnick D.A., Mehta P.P., Devadas B., Huhn M., Atwood J.L., Adams S.P., Gokel G.W., Gordon J.I. // J. Biol. Chem. 1991. V. 266. № 14. P. 8835 - 8855.
16. Corey E.J., Suggs J.W. // Tetrahedron Lett. 1975. V. 16. № 31. P. 2647.
17. Bestmann H.J., Vostrowsky O. // Chem. Phys. Lipids. 1979. V. 24. № 4. P. 335 - 389.
18. Wannagat U., Niederprum H. // Chem. Ber. 1961. V. 94. № 6. P. 1540 - 1547.
19. Joyce R.M., Hanford W.E., Harmon J. // J. Amer. Chem. Soc. 1948. V. 70. № 7. P. 2529 - 2533.
20. Methoden der Organischen Chemie (Houben-Weyl), Stuttgart: Georg Thieme, 1958. B. 11/2. S. 192.
21. Hoffman K., Yoko C.W. // J. Amer. Chem. Soc. 1959. V. 81. № 13. P. 3356 - 3358.
22. Бергельсон Л.Д., Молотковский Ю.Л., Шемякин М.М. // Журн. общ. химии. 1962. Т. 32. № 1. С. 58 - 64.
23. Muller E., Rundel W. // Angew. Chem. 1958. V. 70. № 1. P. 105.
24. Karvonen // Chem. Zbl. 1912. B. II. S. 1271.

A New Oxaanalog of Myristic Acid that Suppresses the Replication of Human Immunodeficiency Virus

E. L. Vodovozova*, I. I. Mikhalev*, A. A. Rzhaninova**,
M. M. Garaev**, and Yul. G. Molotkovsky*

* Shemyakin-Ovchinnikov Institute of Bioorganic Chemistry, Russian Academy of Sciences,
ul. Miklukho-Maklaya 16/10, Moscow, 117871 Russia

** Ivanovskii Institute of Virology, Russian Academy of Medical Sciences,
ul. Gamalei 16, Moscow, 123098 Russia

Abstract – A series of oxaanalogs of myristic acid were synthesized and tested for antiviral activity in MT4 cells infected with human immunodeficiency virus 1 (HIV-1). The synthesized acids have no toxic effect on uninfected MT4 cells at a concentration of 100 μM . 14,14,14-Trifluoro-12-oxatetradecanoic acid substantially (by 75%) inhibits the reproduction of HIV-1. Other compounds synthesized, (7Z)-13-, (9Z)-13-, and (7Z)-11-oxatetradecenoic acids, exhibit no antiviral effect.

Key words: inhibitors of retroviruses, anti-HIV agents, protein N-myristoylation, myristoyl-CoA: protein-N-myristoyltransferase, myristic acid oxaanalogs, inhibitors of virus-specific protein myristoylation.